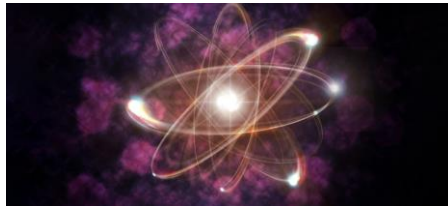




Comenzamos en breve, a las 1 CDT / 2 EDT



La electroquímica está presente en áreas de importancia para el medioambiente, la economía y la medicina. De hecho, hoy en día, habrá dispositivos electroquímicos que pueden ser miniaturizados para ser portátiles y de bajo costo, en beneficio de la sociedad.

[Regístrate Gratuitamente](#)

Durante el webinar gratuito al Dr. Carlos R. Cabrera Martínez de la University of Texas at El Paso (UTEP) se darán ejemplos de proyectos reales en estas áreas que han sido estudiadas por su laboratorio. En área de energía renovable se tocará las células de combustible (fuel cells) de hidrógeno con énfasis en la reducción electroquímica de oxígeno y como nanomateriales que pueden ayudar en la eficiencia y el factor económico del proceso. En el área de remediación ambiental se presentará un método para purificar aguas usadas (orinal) usando un bioreactor acoplado a una célula alcalina de combustible de amonio. Finalmente, se presentarán dispositivos electroquímicos para la detección del cáncer uterino y colorrectal usando tirillas comúnmente usadas en la detección de los niveles de azúcar (glucosa) y como esta área ha sido transformada a una compañía naciente (startup) en San Juan, Puerto Rico.

Lo Que El Público Aprenderá

- Cómo la electroquímica, acoplada a la nanotecnología, es usada en energía renovable para mejorar su eficiencia y bajar sus costos
- Cómo la microbiología, acoplada a células de combustible, pueden ser usados para la purificación de aguas usadas para producir agua potable usando un dispositivo portátil
- Cómo dispositivos comúnmente usados para detectar el nivel de azúcar en la sangre pueden ser modificados para detectar cáncer uterino y colorrectal

Ponente y Moderadora



Dr. Carlos R. Cabrera Martínez
Director y Profesor de Química y Bioquímica,
University of Texas at El Paso (UTEP)



Dra. Ingrid Montes
Profesora, Universidad de Puerto Rico,
Recinto de Rio Piedras

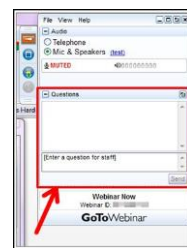
El cuadragésimo noveno webinar en Español auspiciado por ACS y SQM

<https://www.acs.org/content/acs/en/acs-webinars/library/electroquimica-2.html>

1



¿Tiene preguntas para el ponente?



“¿Por qué he sido “silenciado”?

No se preocupe. Todo el mundo ha sido silenciado, excepto el ponente y la moderadora. Gracias, y disfruten de la presentación.

Escriba y someta sus preguntas durante la presentación

2

2



SOCIEDAD QUÍMICA
DE MÉXICO, A.C.
"La química nos une"



¿Está en un grupo hoy viendo el webinar en vivo?



Díganos de dónde son ustedes y cuántas personas están en su grupo!

3

3

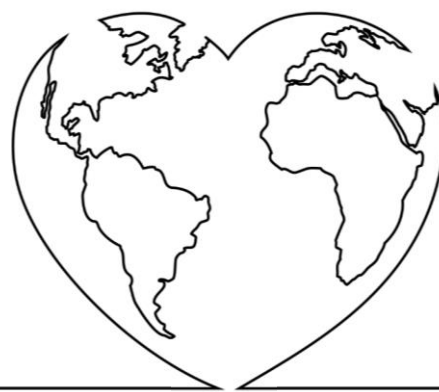


SOCIEDAD QUÍMICA
DE MÉXICO, A.C.
"La química nos une"



Por el amor a la química venimos de todos partes...

- ✓ Alemania
- ✓ Honduras
- ✓ Argentina
- ✓ India
- ✓ Aruba
- ✓ Italia
- ✓ Bolivia
- ✓ Malasia
- ✓ Brasil
- ✓ México
- ✓ Chile
- ✓ Panamá
- ✓ Colombia
- ✓ Perú
- ✓ Costa Rica
- ✓ Portugal
- ✓ Ecuador
- ✓ Puerto Rico
- ✓ El Salvador
- ✓ Reino Unido
- ✓ España
- ✓ República Dominicana
- ✓ Estados Unidos
- ✓ Taiwán
- ✓ Francia
- ✓ Uruguay
- ✓ Guatemala
- ✓ Venezuela



Hoy tenemos representantes de 29 países

4

4



SOCIEDAD QUÍMICA
DE MÉXICO, A.C.
"La química nos une"



C&EN pone a su disposición traducciones al español de sus artículos más populares.

C&EN EN ESPAÑOL

Spanish translations of C&EN's best weekly chemistry news.



Los intermedios de zeolita ofrecen nuevas posibilidades en catálisis

En medio de una conocida transformación de fase en zeolitas, los investigadores han encontrado especies activas que aceleran las reacciones catalizadas en medio ácido.

MARCH 21, 2022



Los químicos responden a la invasión de Ucrania

La comunidad científica se solidariza contra la invasión mientras los costos para la ciencia rusa aumentan.

MARCH 7, 2022



Infografías Periodicas: Estimulantes comunes provenientes de las plantas

El profesor de química y biólogo de Compound Interest Andy Brunning describe algunos estimulantes conocidos que producen las plantas y explica por qué los producen.

FEBRUARY 28, 2022



Bonnie Bassler, Carolyn Bertozzi y Benjamin Cravatt reciben el Premio Wolf de Química 2022

El premio reconoce la innovación en la intersección entre la química y la biología, dicen los investigadores

FEBRUARY 22, 2022

Queremos hacer de la ciencia de vanguardia más accesible a la comunidad química de habla española, y esta es nuestra contribución. Le da a los nacidos en España, América Latina, o los EE.UU., pero cuyo primer idioma es el español la oportunidad de leer este contenido en su lengua materna. Esperamos que les guste y sea de su utilidad.



Dr. Bibiana Campos Seijo
Editora en Jefe, C&EN

5

<http://bit.ly/CENespanol>

5



SOCIEDAD QUÍMICA
DE MÉXICO, A.C.
"La química nos une"



Beneficios de la Afiliación al ACS

c&en
CHEMICAL & ENGINEERING NEWS

Chemical & Engineering News (C&EN)
The preeminent weekly news source

 **ACS Webinars®**
CLICK • WATCH • LEARN • DISCUSS

ACS Webinars Archive of Recordings®

ACS Member only access to over 250 edited chemistry themed webinars. www.acswebinars.org



NEW! ACS Career Navigator

Your source for leadership development, professional education, career services, and much more

<http://bit.ly/ACSnewmember>

6

6



Sociedad Química de México



Desde sus comienzos de la Sociedad Química de México, se buscaba un emblema sencillo, no demostrar partidismo alguno y significar al gremio, debería representar un símbolo no sólo para los químicos, sino también para ingenieros, farmacéuticos, metalurgistas, en fin que englobe e identifique por igual a los científicos en todas sus áreas de las ciencias químicas.

www.sqm.org.mx

7

7



Mantente actualizado sobre la industria de la química
y sus ciencias afines en la región

Suscríbete al Newsletter de CAS Hispanoamérica

Para darte de alta, puedes enviarnos un correo electrónico a
acsihispanoamerica@acs-i.org

¡Hasta pronto!
www.cas.org

acsihispanoamerica@acs-i.org

8

8



Recursos del ACS en Español: Educación sobre Seguridad en el Laboratorio



- Seguridad en los laboratorios Académicos de Química para estudiantes Universitarios de Primer y Segundo año.
- Videos sobre RAMP para estudiantes de escuela secundaria (pero también pueden utilizarse para estudiantes universitarios) con subtítulos en español:

- Mentalidad de Seguridad
- Hoja de datos de seguridad (SDS)
- ¿Cómo vestirse apropiadamente en un laboratorio? Y equipo de protección personal (EPP)
- Preparándonos para emergencias
- RAMP (Para Estudiantes)
- RAMP (Para Educadores)



<https://www.acs.org/content/acs/en/chemical-safety/resources/spanish-language-safety-resources.html>

9

9



La Sociedad Química de México, A.C. los invita al Diplomado de "Historia de la Química Mexicana"

Parte I

Del 23 de abril al 27 de agosto de 2022.

MÓDULO I

La Química en el México Colonial

MÓDULO II

Química y Farmacia en el Siglo XIX

MÓDULO III

La Tradición Herbolaria: Los Productos Naturales



Parte II

Del 10 de septiembre al 10 de diciembre de 2022.

MÓDULO IV

La Profesión Química en México

MÓDULO V

La Industria Química en México

MÓDULO VI

La Institucionalización de la Investigación Química en México

Costos (I.V.A. incluido):

\$6,000.00 M.N.^a Público en general. \$50.00 M.N. por hora de conferencia impartida.

Costo por sesión de dos horas (conferencia): \$500.00 M.N.

Costo por día: \$1,000.00 M.N.

50% de descuento en todas las opciones para miembros de la Asociados o miembros vigentes de la Sociedad Química de México, del Colegio Nacional de Químicos Farmacéuticos Biólogos México, Asociación Farmacéutica Mexicana, Academia Nacional de Ciencias Farmacéuticas, Instituto Mexicano de Ingenieros Químicos y Colegio Nacional de Ingenieros Químicos y de Químicos.

Disposición de becas previa justificación.

Más información en:

<https://sqm.org.mx/diplomado-historia-de-la-quimica-mexicana/>

Dirigido a:
Egresados de licenciaturas de áreas científicas y humanísticas, estudiantes de
esas licenciaturas, docentes de educación media y superior.

Duración:
120 horas

Sesiones sabatinas de 9:00 a 13:00 hrs. (GMT -6) de forma telemática.

*Avaleado por el Instituto de Química de la Universidad Nacional Autónoma de México.

^aPuedes pagar el costo del diplomado completo en 3 cómodas mensualidades.

www.sqm.org.mx | contenidosacademicos@sqm.org.mx



WEBINARS Conferencias en línea  Educación y Divulgación

CONACYT Comisión Nacional de Ciencia y Tecnología

26 de octubre 17:00 h (CDT)



Dra. Daniela Franco Bodek
Facultad de Química
Universidad Nacional Autónoma de México

¿Qué es la mala conducta científica? Casos de la vida real

Objetivo:

- Se familiarizará con casos reales de mala conducta científica y sus consecuencias.
- Conocerá algunos de los indicadores que se deben vigilar.
- Se le invitará a reflexionar acerca de qué estrategias se pueden adaptar para desincentivar esta práctica.

<https://bit.ly/3SSmthD>

Cupo limitado
Actividad sin costo
Constancia socios activos: gratuita
Constancia no socios: \$150.00 MN.
Fecha límite para solicitud y pago de constancia: 31 de octubre

www.sqm.org.mx | contenidosacademicos@sqm.org.mx



11

WEBINARS Conferencias en línea  Investigación y Desarrollo Tecnológico

CONACYT Comisión Nacional de Ciencia y Tecnología

9 de noviembre 13:00 h (CST)



Dra. María de la Luz Zambrano Zaragoza
Facultad de Estudios Superiores, Cuautitlán
Universidad Nacional Autónoma de México.
Premio Nacional de Química "Andrés Manuel del Río", área Tecnológica, edición 2022.

NANOTECNOLOGÍA EN LA INDUSTRIA ALIMENTARIA

<https://bit.ly/3SyoYVh>

Cupo limitado
Actividad sin costo
Constancia socios activos: gratuita
Constancia no socios: \$150.00 MN.
Fecha límite para solicitud y pago de constancia: 14 de noviembre

www.sqm.org.mx | contenidosacademicos@sqm.org.mx



12



13



La Electroquímica: Desde la Energía Renovable Hasta Dispositivos Biomédicos



Dr. Carlos R. Cabrera Martínez
Director y Profesor de Química y Bioquímica,
University of Texas at El Paso (UTEP)



Dra. Ingrid Montes
Profesora, Universidad de Puerto Rico,
Recinto de Río Piedras

Las imágenes de la presentación están disponibles para el evento de hoy.
<https://www.acs.org/content/acs/en/acs-webinars/library/electroquimica-2.html>

El Webinar de hoy está auspiciado por la Sociedad Química de México y American Chemical Society

14

14



La Electroquímica: Desde La Energía Renovable Hasta Dispositivos Biomédicos



Carlos R. Cabrera Martínez

Departamento de Química y Bioquímica

Universidad de Texas en El Paso

crcabrerama@utep.edu

26 de octubre de 2022

ACS en Español



THE UNIVERSITY OF TEXAS AT EL PASO

15

15



Bosquejo



- Energía Renovable: Células de Combustible (*Fuel Cells*)
 - Reducción de Oxígeno (*Oxygen Reduction Reaction, ORR*)
- Remediación Ambiental
 - Purificación de orina-*P. vulgaris*
 - Biosensor de urea
- Dispositivos Biomédicos-Biosensores
 - Biomarcadores: Telomerasa (Cancer Uterino) y
 - Colorectal Cancer Secreted Protein (CCSP-2) (Cancer del Colón)
- Agradecimientos



THE UNIVERSITY OF TEXAS AT EL PASO



16

16

The Electrochemical Society

INTERFACE

VOL. 28, NO. 4, Winter 2019

2019 NOBEL PRIZE IN CHEMISTRY WINNERS

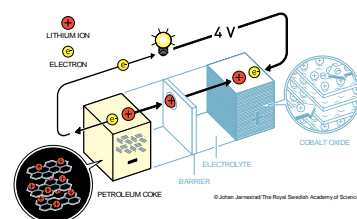
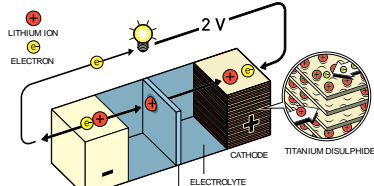
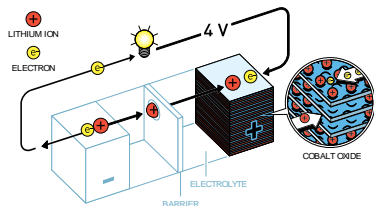
"for the development of lithium-ion batteries"

John B. Goodenough
M. Stanley Whittingham
Akira Yoshino

ECS



THE UNIVERSITY OF TEXAS AT EL PASO



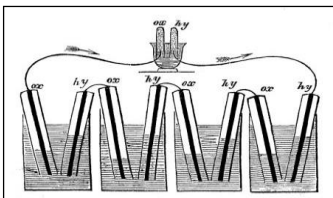
17

17

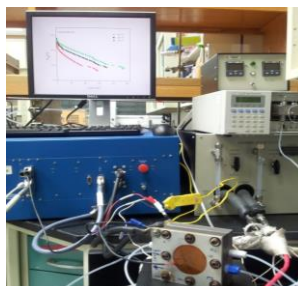


1839 Físico Inglés William Grove

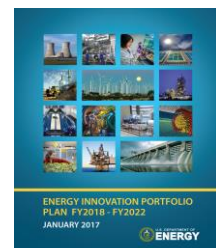
Electrólisis de Agua

 $\text{Electrólisis } \text{H}_2\text{O} \rightarrow \text{H}_2 + 1/2\text{O}_2$
 Reacción $\text{H}_2 + 1/2\text{O}_2 \rightarrow \text{H}_2\text{O}$ $E_{\text{cell}} = 1.23\text{V}$


THE UNIVERSITY OF TEXAS AT EL PASO



NASA: 1963 Misión Apollo:
Células Alcalinas de Combustible
(Hidrógeno)



ENERGY INNOVATION PORTFOLIO
PLAN FY2018 - FY2022
JANUARY 2017
U.S. DEPARTMENT OF ENERGY

2022 Célula de
Combustible de Hidrógeno
Toyota Mirai: Precio \$45K

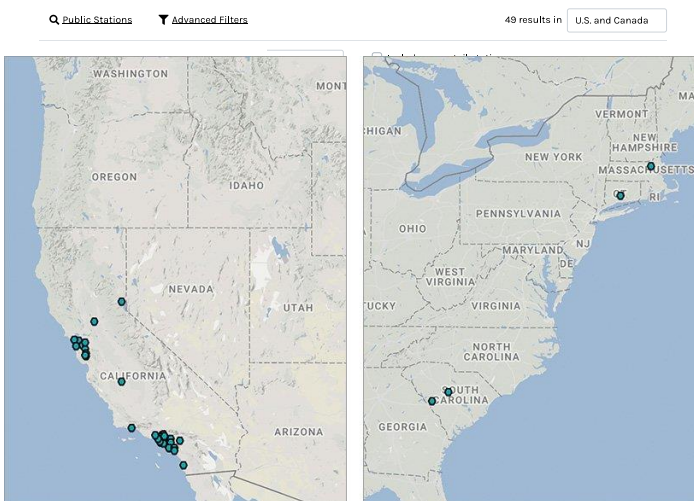


18

18

Estaciones de Hidrógeno en EU

Hydrogen Fueling Station Locations
Find hydrogen fueling stations in the United States and Canada. For Canadian stations in French, see Natural Resources Canada
<https://www.mrnr.gc.ca/energy/transport-energy/20488>



inois Groupe
- Hydrogenics,

- Wallingford
ard, CT 06492



THE UNIVERSITY OF TEXAS AT EL PASO

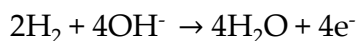
19

19

Células Alcalinas de Combustible Alkaline Fuel Cell (AFCs)

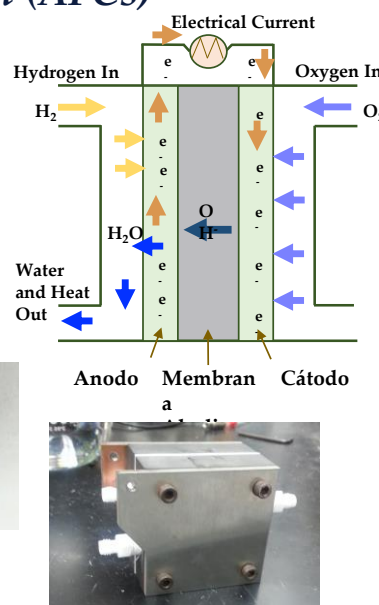


Reacción en el Anode:

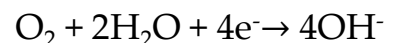


Otros combustibles:

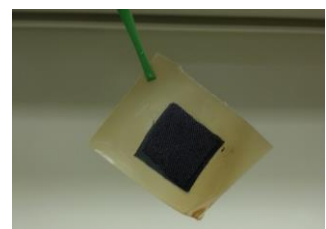
Amoniaco
Glucosa
Metanol
Butanol



Reacción en el cátodo:



Reducción de Oxígeno Oxygen Reduction Reaction (ORR)



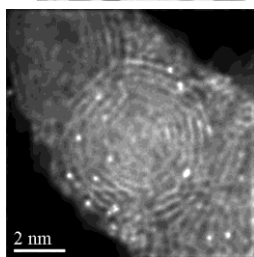
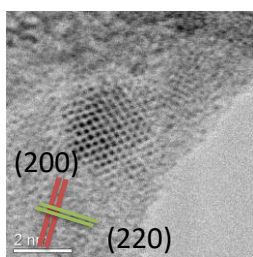
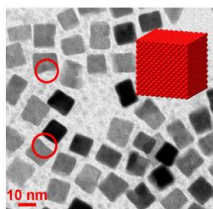
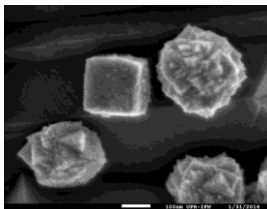
THE UNIVERSITY OF TEXAS AT EL PASO

20

20

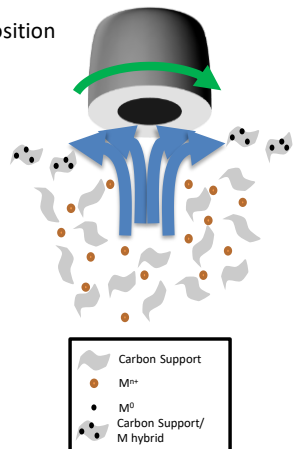
21

Síntesis y Electrodepositión de metales y óxidos en nanocarbono como soporte para células alcalinas de hidrógeno

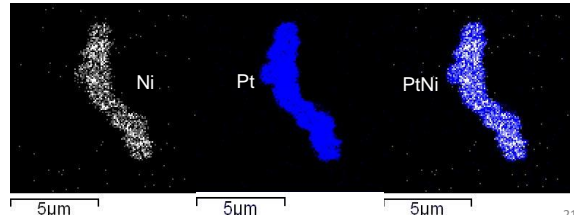


THE UNIVERSITY OF TEXAS AT EL PASO

Rotating Disk Slurry Electrodeposition (RoDSE) Technique



Galvanic Displacement



21

21

Célula alcalina de hidrógeno- Media Célula



Reacción en el cátodo:
 $O_2 + 2H_2O + 4e^- \rightarrow 4OH^-$

Electrodo rotado de disco (RDE)

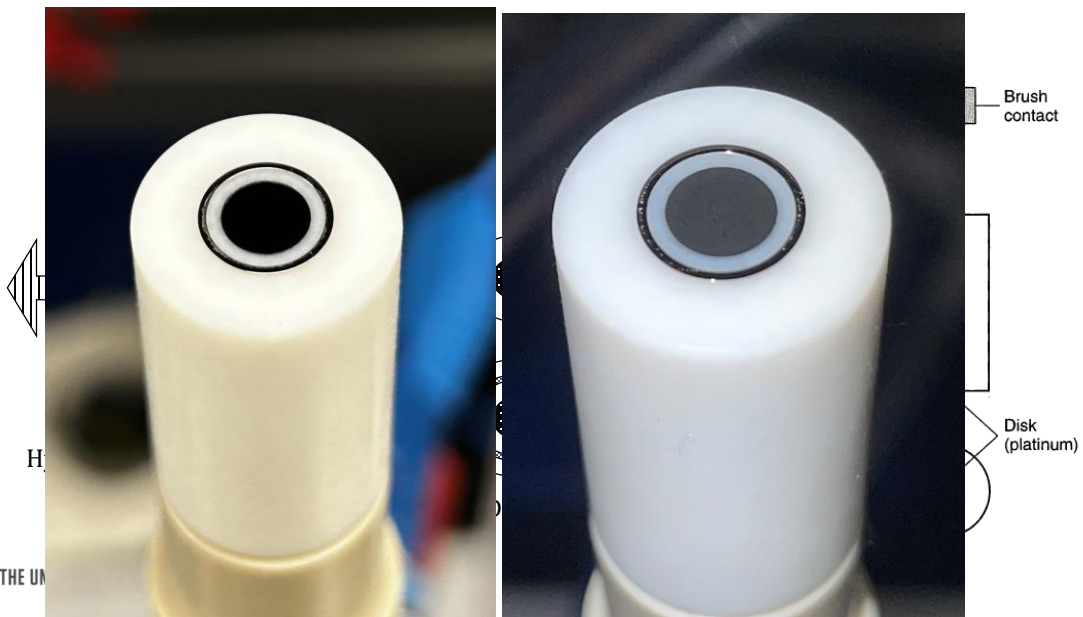


THE UNIVERSITY OF TEXAS AT EL PASO

22

22

Qué es un electrodo rotado de disco de grafito (Rotating Disk Electrode (RDE))



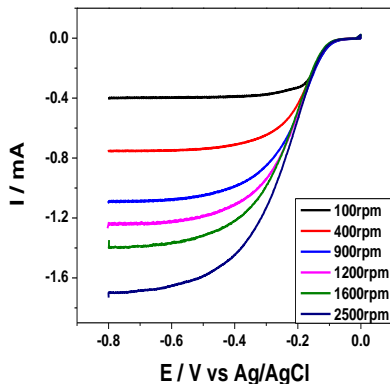
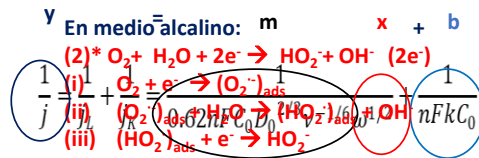
23

23

Reducción de oxígeno (Oxygen Reduction Reaction (ORR))

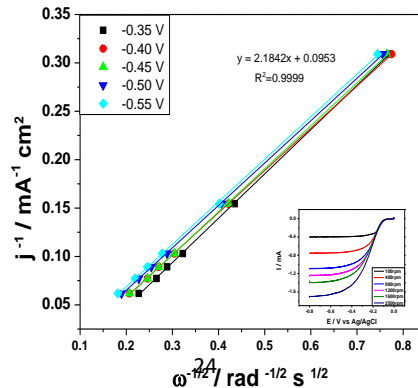
ORR Mecanismo:

- (1) $O_2 + 2 H_2O + 4e^- \rightarrow 4 OH^-$ (4e-)
- (2)* $O_2 + H_2O + 2e^- \rightarrow HO_2^- + OH^-$ (2e-)
- (3) $HO_2^- + H_2O + 2e^- \rightarrow 3OH^-$ (2e-)



THE UNIVERSITY OF TEXAS AT EL PASO

Gráfica de Koutecky-Levich



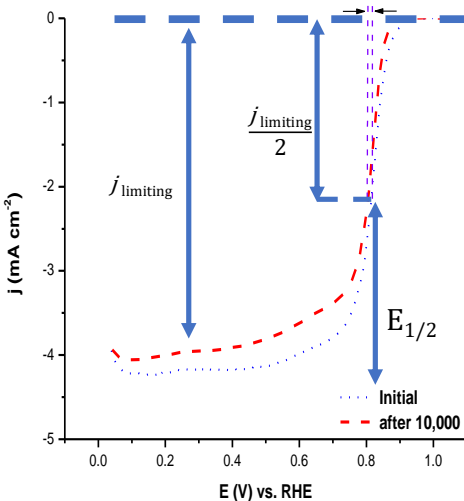
24

24



THE UNIVERSITY OF TEXAS AT EL PASO

Curva de polarización para la reducción de O₂ después de 10,000 cycles
 $\Delta E_{1/2} = 5 \text{ mV}$



PtNiNWs O₂ polarization curves after 10,000 cycles in the potential window (0.6-1.0) V vs. RHE in KOH 0.1M at 100 mV/s with (25.00 ± 0.01) °C.

25

25

Nanohilos de Platinum-Nickel por vía de Desplazamiento Galvánico para ORR

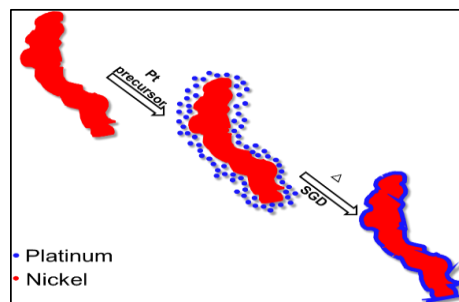
Dr. Joesene Soto-Pérez



Postdoctoral Fellow
@ Cornell University



THE UNIVERSITY OF TEXAS AT EL PASO

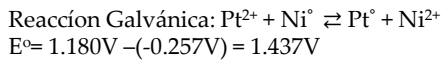


Soto-Pérez, J.; et al. "In Situ X-ray Absorption Spectroscopy of PtNi-Nanowire/Vulcan XC-72R under Oxygen Reduction Reaction in Alkaline Media", *ACS Omega*, 2021, 6(27), 17203–17216.

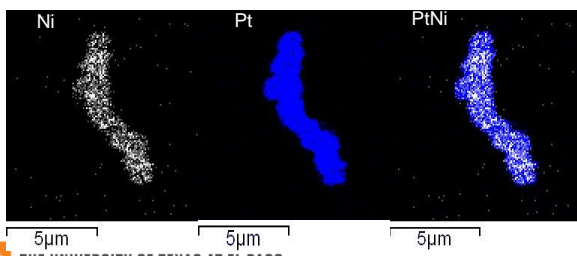
26

26

Nanohilos de Platinum-Nickel por vía de Desplazamiento Galvánico para ORR

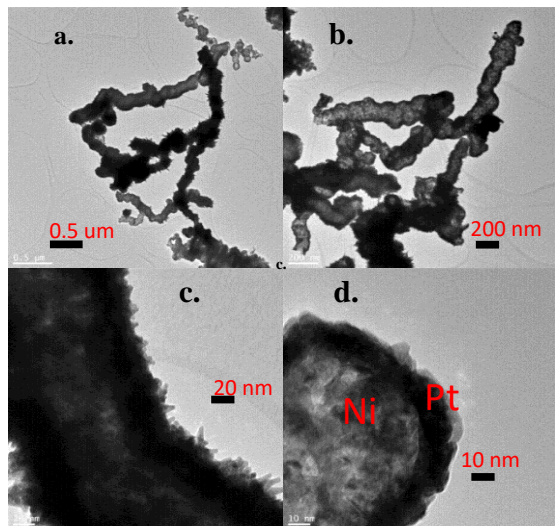


Imágenes de fluorescencia de rayos X



THE UNIVERSITY OF TEXAS AT EL PASO

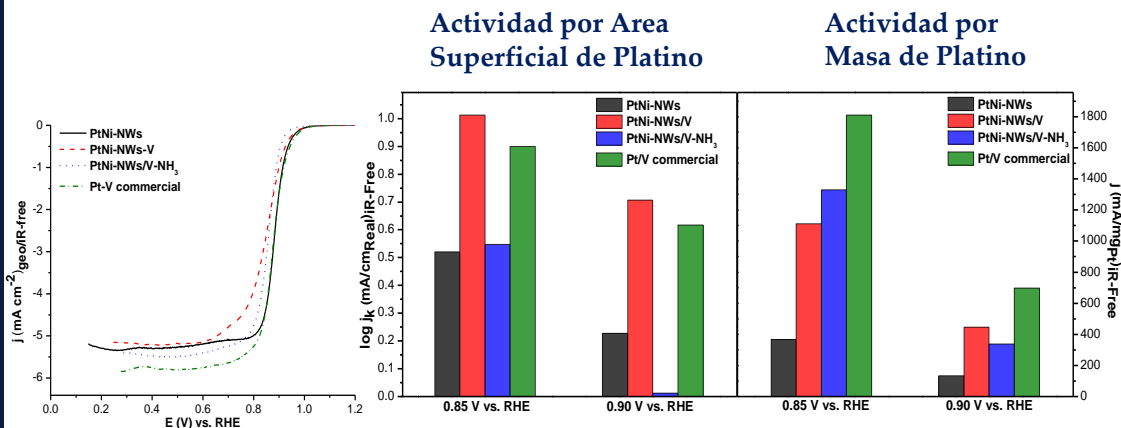
Imágenes de transmission de electrones



27

27

Resultados Electroquímicos para la Reducción de Oxígeno



THE UNIVERSITY OF TEXAS AT EL PASO

28

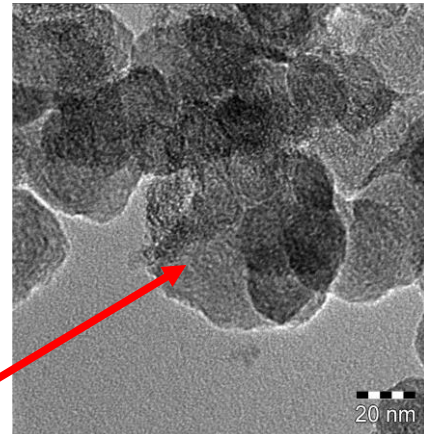


Nanocarbón/Nanopolvo de carbón Vulcan XC-72R



*Microscopía de transmisión de electrones (TEM)
de Vulcan XC-72R (Nanocarbono)*

- Área superficial alta
- Alta porosidad
- partículas nanométricas
- *Soporte de carbono usado en células de combustible*



THE UNIVERSITY OF TEXAS AT EL PASO

Electrodepositión de metal en nanocarbono!?

29

29

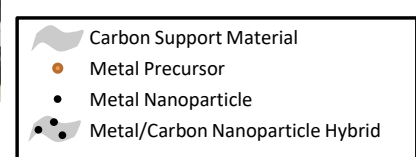
Rotating Disk Slurry Electrodeposition (RoDSE) Technique



Dr. Amal Suleiman
@ Amgen



Dr. Diana Santiago
@ NASA Glenn Research Center



THE UNIVERSITY OF TEXAS AT EL PASO

Vélez, C.; et al., Manufacture of Pd/Carbon Vulcan XC-72R Nanoflakes Catalysts for Ethanol Oxidation Reaction in Alkaline Media by RoDSE Method. *J. Electrochem. Soc.* **2017**, 164, D1015-D1021. Suleiman, A.; et al. RoDSE of Platinum onto Y-Zeolite/Carbon Vulcan XC-72R for Methanol Oxidation in Alkaline Media *RSC Adv.* **2015**, 5 (10), 7637-7646. Santiago, D.; et al. "Platinum Electrodeposition at High Surface Area Carbon Vulcan-XC-72R Material Using a RoDSE Technique", *J. Electrochem. Soc.*, **2010**, 157, F189-F195.

30

30

15

RoDSE – Desplazamiento Galvánico

Electrodepositión de Ni, Co y Cu en Vulcan CX-72R por RoDSE

- A. Glassy carbon rotating disk electrode
- B. RHE reference electrode
- C. Pt counter electrode
- D. Porous membrane



Polo del catalítico

Ni, Co y Cu soportado en Vulcan XC-72R

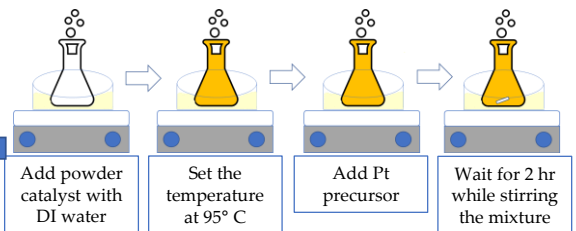
Polo de Catalítico Final

Pt-Ni, Pt-Co y Pt-Cu Soportado en Vulcan XC-72R

Vacuum oven

60 °C 24 hr

Deplazamiento Galvánico



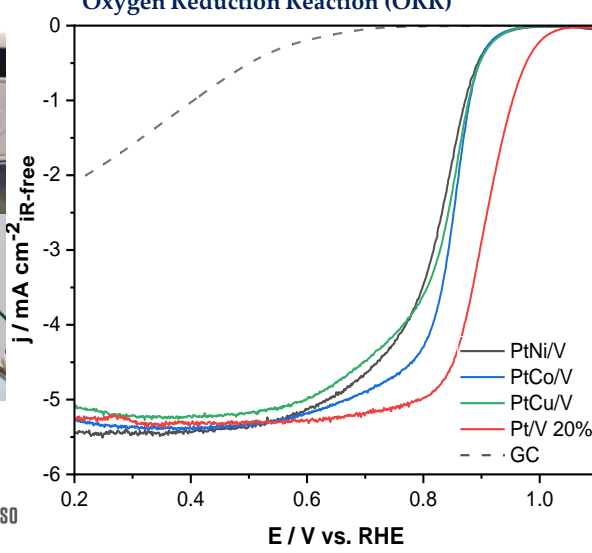
THE UNIVERSITY OF TEXAS AT EL PASO

31

31

Reducción de oxígeno a 1,600 rpm (revoluciones por minuto) en un electrodo rotado de carbón modificado con pastas de PtNi/C, PtCo/V, PtCu/V y Pt/V a velocidad de rastreo de potencial de 10 mV/s en 0.1 M KOH.

Oxygen Reduction Reaction (ORR)

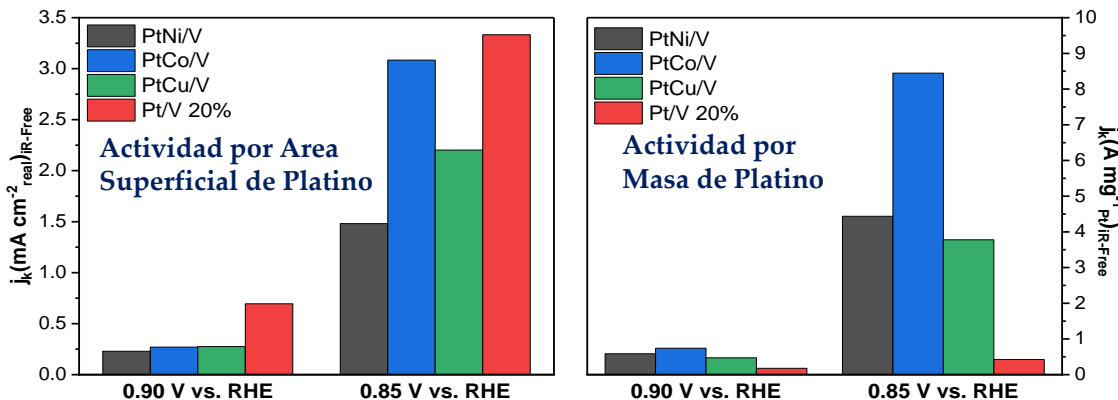


THE UNIVERSITY OF TEXAS AT EL PASO

32

32

Reducción de Oxígeno (ORR) normalizado por area superficial (*Specific Activity*) y por masa (*Mass Activity*)



Soto-Pérez, J. et al. "Combined RoDSE and SGD for Pt-M (M=Co, Ni and Cu) Catalysts Synthesis for ORR in Alkaline Media", *ACS Applied Energy Materials* 2022, under review.

33

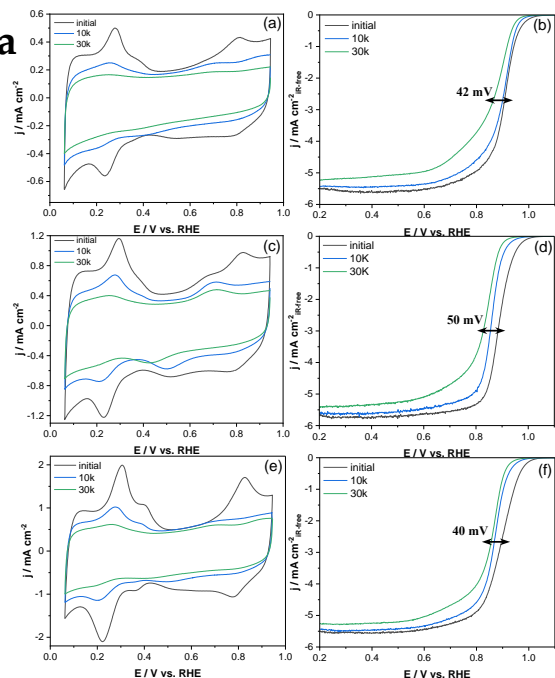
34

Durabilidad del catalítico para la reducción de oxígeno

Volametría cíclica a 25 mV/s en 0.1M KOH y polarización para la ORR a 10 mV/s en 0.1 M KOH a 1,600 rpm para:

- (a)PtNi/V
- (b)PtCo/V
- (c)Pt/V 20% comercial

10,000 y 30,000 ciclos de potencial.

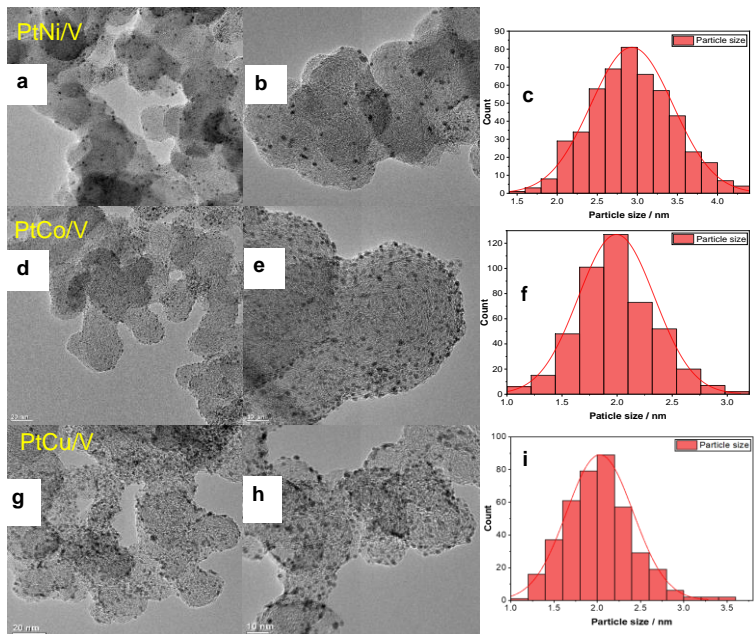


THE UNIVERSITY OF TEXAS AT EL PASO

34

Transmission Electron Microscopy (TEM)

Transmission electron microscopy images of electrocatalysts and their particle size distribution, PtNi/V (a), (b), (c),
PtCo/V (d), (e), (f),
PtCu/V (g), (h) and (i).

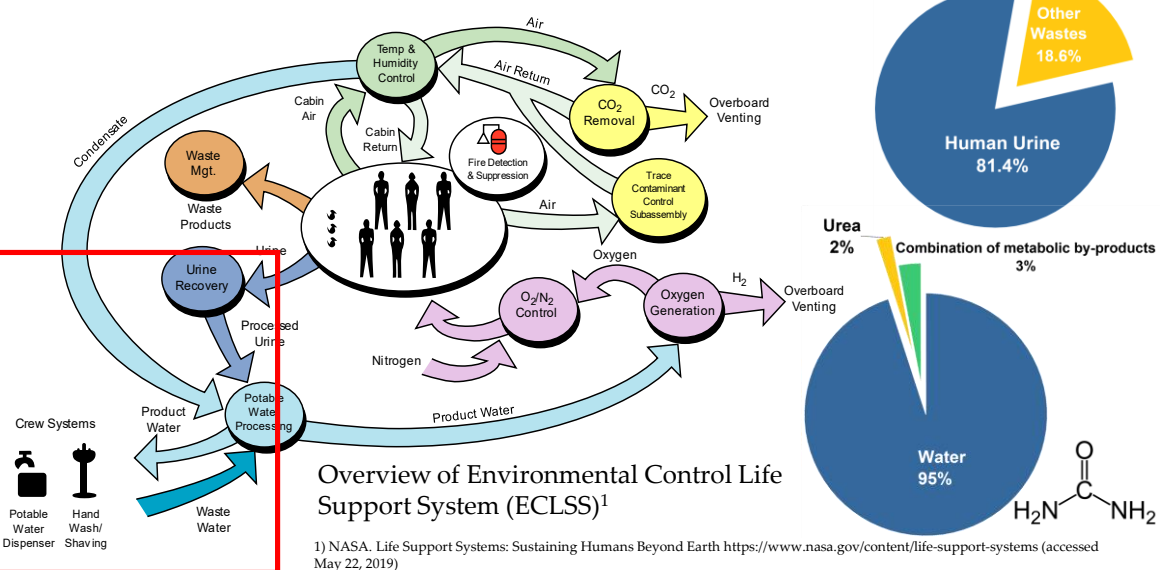


THE UNIVERSITY OF TEXAS AT EL PASO

35

35

Water Reclamation (WR) from Urine



Overview of Environmental Control Life Support System (ECLSS)¹

1) NASA, Life Support Systems: Sustaining Humans Beyond Earth <https://www.nasa.gov/content/life-support-systems> (accessed May 22, 2019)

2) Lindeboom, R. E. F., et al. "A five-stage treatment train for water recovery from urine and shower water for long-term human Space missions. Desalination", *Desalination*, 2020, 495, 114634.

3) Niclau, E.; et al. Evaluation of a Urea Bioelectrochemical System for Wastewater Treatment Processes. *ACS Sustain. Chem. Eng.* 2014, 2, 749–754.

36

18

Urea Bioelectrochemical System

Myreisa Morales-Cruz *et al.* *Bioelectrochemistry* 2018, 122, 206–212
Colaborador: Gary A. Toranzos-Soria, Departamento de Biología, UPR-Río Piedras



Dr. Myreisa Morales-Cruz

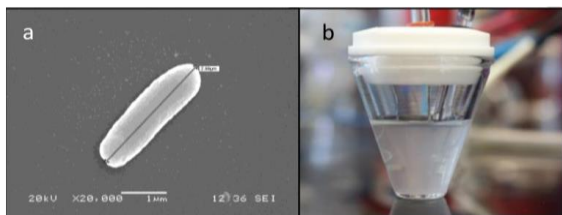
Naval Air Systems Command (NAVAIR), Maryland

Proteus vulgaris:

- ✓ Urease production
- ✓ Facultative anaerobic

Optimized parameters:

- ✓ Urea concentration
- ✓ Changes in pH
- ✓ Bacteria concentration
- ✓ Reaction time
- ✓ Growth media
- ✓ Detection method



- (a) Scanning electron microscopy image of *P. vulgaris* at $\times 20,000$ magnification and
 (b) picture of the electrochemical three-electrode setup used for the experiments, containing the bacteria in synthetic urine

WE: Polycrystalline Pt electrode, CE: Pt wire, RE: RHE

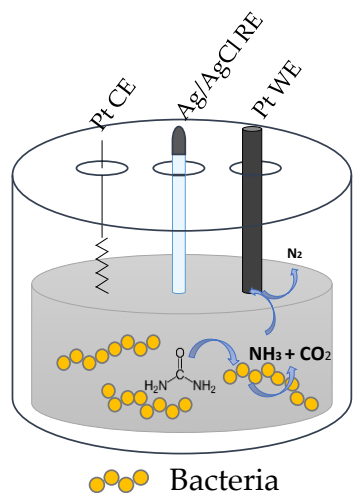


THE UNIVERSITY OF TEXAS AT EL PASO

37

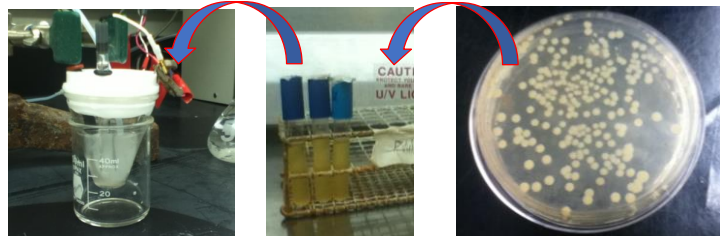
Proof of concept

Proteus Vulgaris – Gram-negative optimum growth at 37 °C



THE UNIVERSITY OF TEXAS AT EL PASO

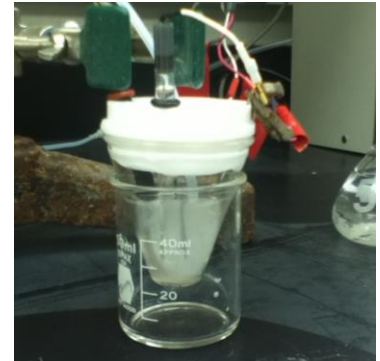
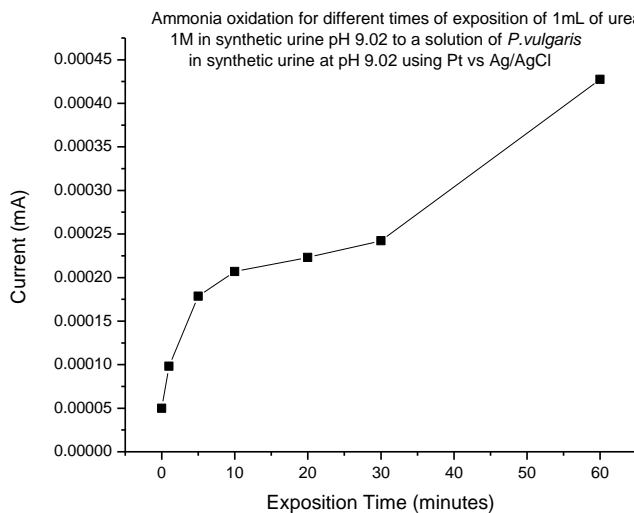
Requirements	Proteus Vulgaris
Anaerobic or facultative anaerobic	✓
Don't produce endospores	✓
Stable at high pH	✓
Produces urease as an exoenzyme	✓
Non pathogen	X Opportunistic Pathogen



38

38

Producción de amoniaco por *P. vulgaris*

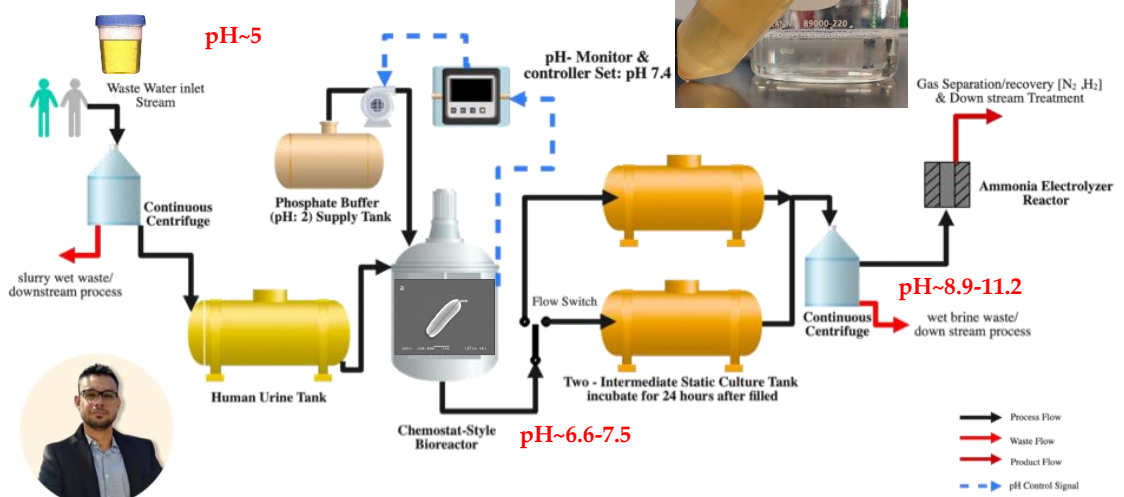


THE UNIVERSITY OF TEXAS AT EL PASO

39

39

Wastewater System



Wilfredo Cardona-Vélez



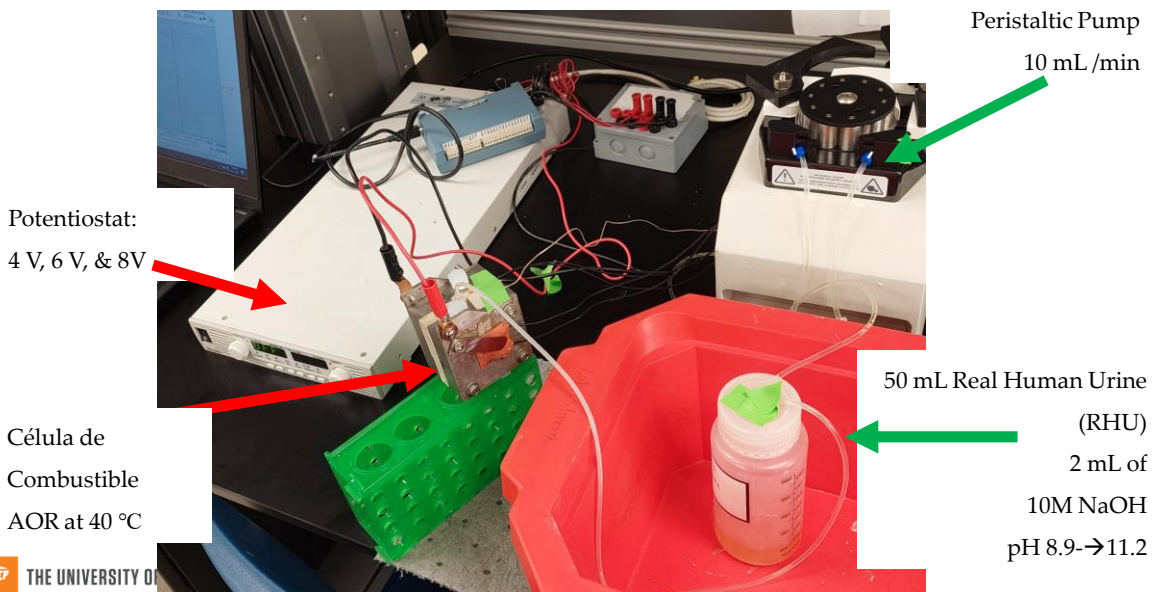
THE UNIVERSITY OF TEXAS AT EL PASO

Cardona-Vélez, W.J.; et al. "Removal of Urea and Ammonia from Real Human Urine using Bio-electrochemical Reactor system for Closed Loop Environments" International Conference on Environmental Systems (ICES) 2022, 245, 12 pages. <http://hdl.handle.net/2346/89769>

40

40

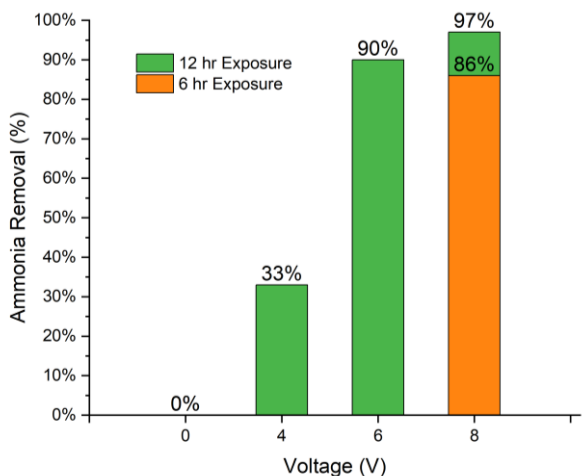
Célula Electroquímica para la Oxidación de Amoniaco



41

41

Oxidación de amoniaco usando orina humana



- Se uso un electrodo selective a amoniacos
- pH > 10



THE UNIVERSITY OF TEXAS AT EL PASO

42

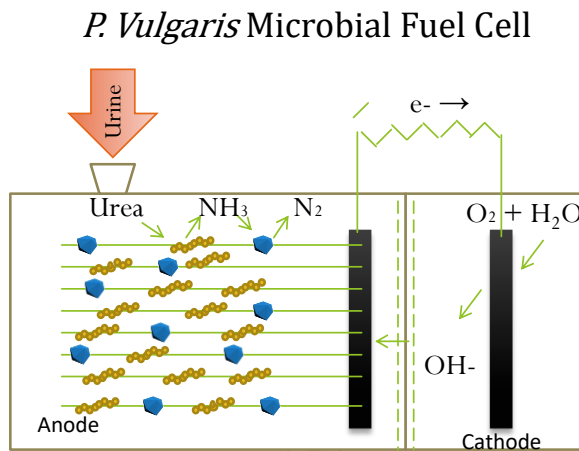
42



Dr. Myreisa Morales-Cruz



Wilfredo Cardona-Vélez



- $(\text{NH}_2)_2\text{CO} + \text{H}_2\text{O} \rightarrow \text{CO}_2 + 2 \text{NH}_3$
- $2 \text{NH}_3 + 6 \text{OH}^- \rightarrow \text{N}_2 + \text{H}_2\text{O} + 6 \text{e}^-$
- $\frac{3}{2} \text{O}_2 + 3 \text{H}_2\text{O} + 6 \text{e}^- \rightarrow 6 \text{OH}^-$



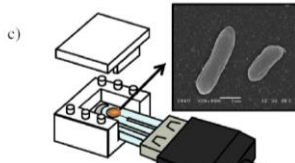
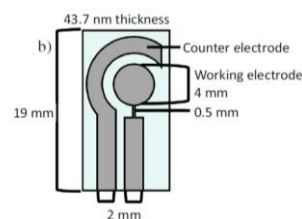
THE UNIVERSITY OF TEXAS AT EL PASO

43

43

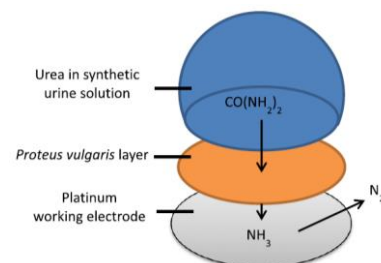
44

Electrochemical *P. vulgaris* whole cell urea sensor



Aim:

- To develop a lab-on-a-chip whole cell biosensor for urea detection



[Bacteria]: Very high.
 Urine matrix: NaCl, KCl, K₂SO₄, MgSO₄, KHCO₃, K₃PO₄
 Urine pH: 8
 Bioreaction time: 30 min
 CV : -0.15 – 1.2 V vs Pt quasi-reference. 10 mv/s



THE UNIVERSITY OF TEXAS AT EL PASO

Morales-Cruz, et al., "Electrochemical *Proteus Vulgaris* Whole Cell Urea Sensor in Synthetic Urine", *Current Research in Biotechnology*, 2019, 1, 22-27.

44

Biosensores usables para medir metabolitos y nutrientes

NATure BioMeDiCAL eNGiNeeriNG |
www.nature.com/natbiomedeng

Wang, M., Yang, Y., Min, J. et al. A wearable electrochemical biosensor for the monitoring of metabolites and nutrients. *Nat. Biomed. Eng.* (2022). <https://doi.org/10.1038/s41551-022-00916-z>



THE UNIVERSITY OF TEXAS AT EL PASO

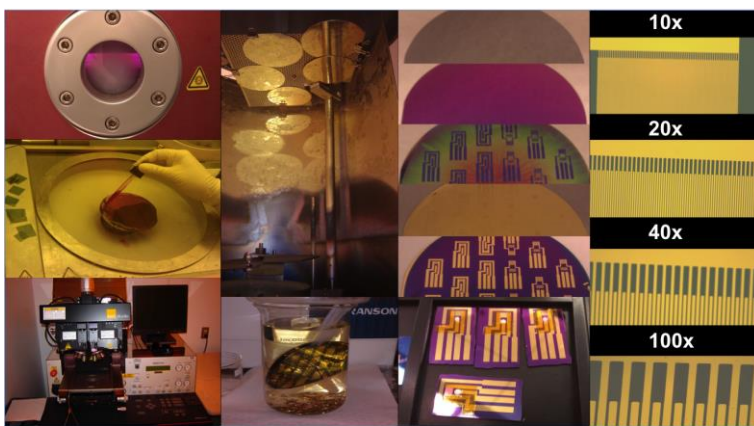


45

Preparación de Dispositivos Biomédicos para el “Punto de Atención” (Point-of-Care)

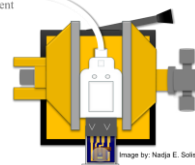


University of South Australia



Dra Diana C. Diaz Cartagena (FDA)
Dra. Nadja E. Solis (EPA)

Cell Arrangement



THE UNIVERSITY OF TEXAS AT EL PASO

Image by: Nadja E. Solis

46



Telomerase and Cancer

Dr. Lisandro Cunci

Universidad Ana G Méndez, Recinto de Gurabo

Since 1994, telomerase activity has been associated with cancer tumor cells from breast, ovarian , prostate, colorectal, and blood, among others

Kim, N. W.; Piatyszek, M. A.; Prowse, K. R.; Harley, C. B.; West, M. D.; Ho, P. L. C.; Coville, G. M.; Wright, W. E.; Weinrich, S. L.; Shay, J. W., Specific Association of Human Telomerase Activity with Immortal Cells and Cancer. *Science* **1994**, 266 (5193), 2011-2015.



THE UNIVERSITY OF TEXAS AT EL PASO

Table 1. Telomerase activity in normal and immortal cells (29).

Tissue of origin	Cell type	Telomerase activity (no. positive/no. tested)
Skin	Tumor	8/8
Skin	Normal	0/5
Connective	Tumor	1/1
Joint	Normal	0/1
Adipose	Tumor	1/1
Breast	Tumor	22/22
Breast	Normal	0/8
Lung	Tumor	18/18
Lung	Transformed	2/3
Lung	Normal	0/3
Stomach	Tumor	1/1
Pancreas	Tumor	3/3
Ovary	Tumor	5/5
Cervix	Tumor	3/3
Cervix	Normal	0/1
Uterus	Normal	0/1
Kidney	Tumor	8/8
Kidney	Transformed	1/1
Bladder	Tumor	3/3
Bladder	Normal	0/1
Colon	Tumor	7/7
Prostate	Tumor	2/2
Prostate	Transformed	0/1
Prostate	Normal	0/2
CNS	Tumor	3/3
Retina	Transformed	1/1
Blood	Tumor	9/9

47

47

Telomerasa: Biomarcador de Cancer



THE UNIVERSITY OF TEXAS AT EL PASO

Animation courtesy of Dr. Dámaris Suazo

L. Hayflick and P. S. Moorhead, *Exp Cell Res*, 1961, **25**, 585-621.

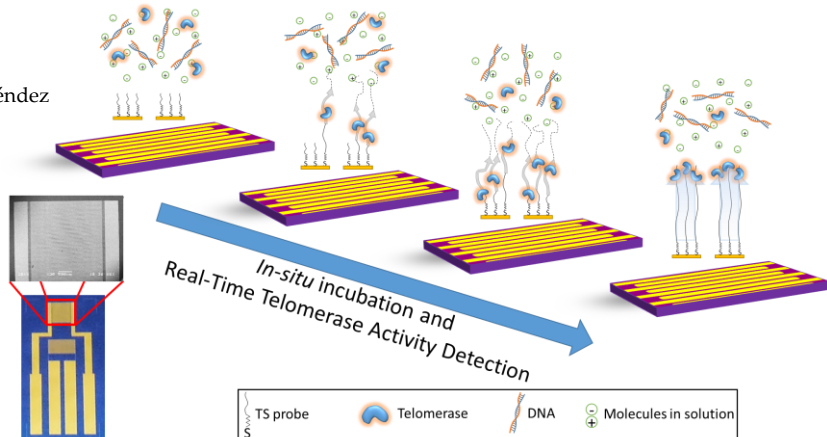
48

48



Dr. Lisandro Cunci
Universidad Ana G. Méndez

Biosensor Basado en Impedancia Electroquímica Detección de Telomerasa como Biomarcador de Cáncer



Telomeres (TS) are repeats of TTAGGG



THE UNIVERSITY OF TEXAS AT EL PASO

L. Cunci *et al.*, RSC Advances 2014, 4, 52357–52365.

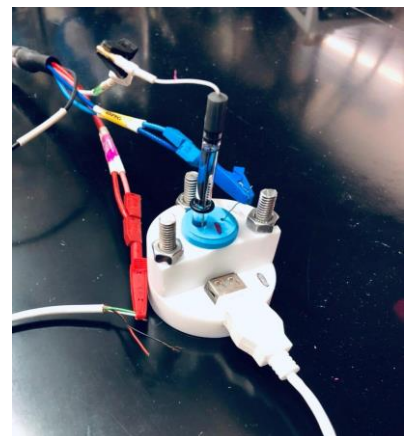
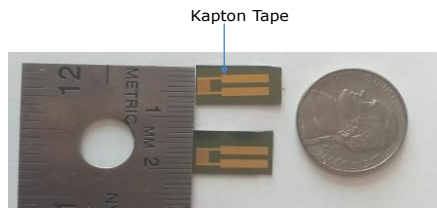
U.S. Patent 11340189, "Electrochemical Impedimetric Biosensing Microchip for Real Time Telomerase Activity Detection".

49

Electrodos Interdigitales y Arreglo de la Miniaturización de la Célula Electroquímica



Dr. Diana C. Díaz-Cartagena
FDA, Washington, D.C.



Classic 3 electrodes cell arrangement:
Reference = Ag/AgCl
Counter = Platinum mesh
Working = Au IDA

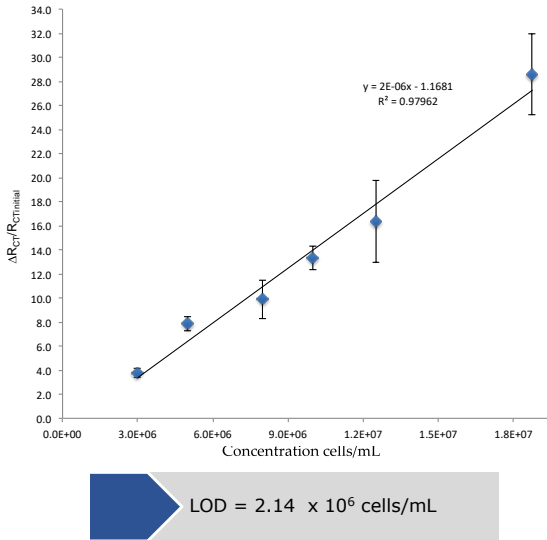
Working electrode connected by standard
Type A female USB cable



Díaz-Cartagena, D.; *et al.* "Label-Free Telomerase Activity Detection via Electrochemical Impedance Spectroscopy" ACS Omega 2019, 4(16), 16724-16732.

Calibration Curve for 10 μm IDA Electrode

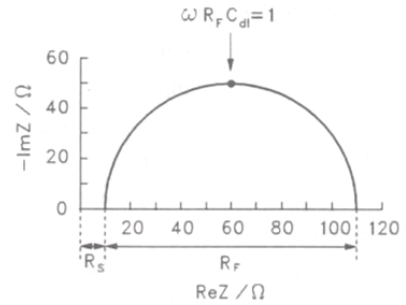
To study the linearity and sensitivity of the biosensor

**LOD equation**

$$\text{LOD} = \frac{3S_{\text{nc}}}{m}$$

n_{c} = negative control = heated extract

Modification times: 2 h TS /3 h telo

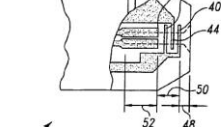
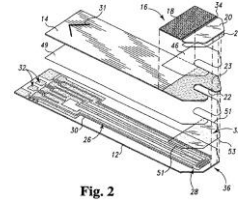
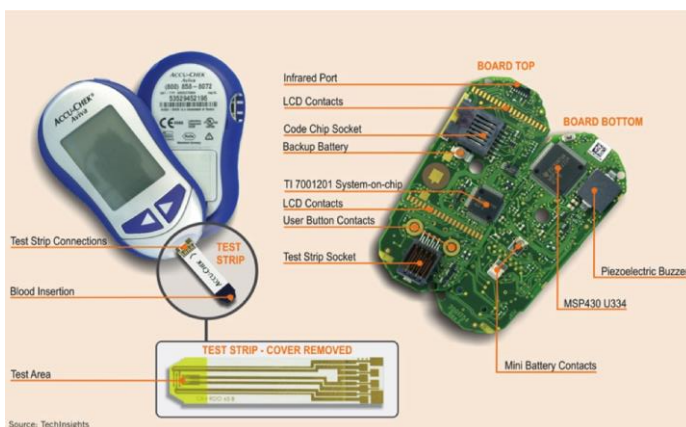


51



THE UNIVERSITY OF TEXAS AT EL PASO

51



The Roche Diagnostics Accu-Chek Aviva design. It uses an amperometric electrochemical reaction to read the glucose level in the blood.

http://www.eetimes.com/document.asp?doc_id=1172970.

Patented Roche Diagnostics Electrochemical Cell Design.

Patent No.: US 8,211,379 B2; Date of Patent: July 3, 2012. The counter/ reference and working electrodes are assigned numbers 40 and 42 and 44, respectively.

52



THE UNIVERSITY OF TEXAS AT EL PASO

52

BIDEA LLC

Dr. Ramonita Díaz-Ayala
Investigadora Principal



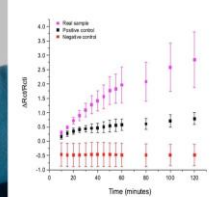
NSF SBIR-Phase I Grant Number 746384- BIDEA LLC.

Endometrial Cancer Monitoring System (ECMS) by BIDEA LLC

"Every woman should have the opportunity for an early, easy, accurate, fast and affordable test to prevent uterine cancer."

Ramonita Díaz-Ayala, Ph.D | PI | cdiazayala@bideallc.org

Data Results

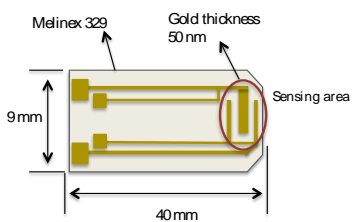


53

53

Schematic representation for the tethering of the TS-30 probes on the GID electrode and the elongation mechanism responsible for the change in the impedance during incubation at 37 °C.

Top view BIDEA's biosensing strip



TSprobe
1Hr @4°C

BIDEA's Biosensing strip

TS Probe: Telomere sequence 30 bases (TTAGGG)
hTERT: human Telomerase Reverse Transcriptase

Díaz-Ayala, R.; et al. "Glucose Strip Platform Spin-Off for Telomerase Activity Detection: development of an electrochemical biosensor", ACS Omega, 2022, 7 (11) 9964-9972.

The diagram illustrates the process of tethering TS-30 probes onto a GID electrode. On the left, a schematic shows the top view of the BIDEA's Biosensing strip with its Melinex 329 layer and 50 nm gold thickness. An arrow points to the right, labeled 'TSprobe 1Hr @4°C', where a series of DNA double helices are shown binding to the gold surface. A second arrow points further right, labeled 'Elongation Process at 37 °C', where a hTERT enzyme is shown using an AAUCCG template to elongate the探针 (probe) sequence. The final stage on the right shows the elongated probe molecules bound to the electrode surface.



THE UNIVERSITY OF TEXAS AT EL PASO

54

54

Resultados de la Biopsia de Tejidos Tumorales del Endometrio hecho por un Patologo versus BBS

Sample	Pathologic Diagnosis	Reported by literature Telomerase activity (TA)	Reference	TRAP(2) results	Resultados de BIDEA ((ΔRct/Rcti)/Δt)
S001	Endometrial hyperplasia with atypia	Exhibited TA	1	TA activity	Positive $m = 1.4 \times 10^{-2}$
S002	No endometrial tissue seen/Abundant mucoid material	No expected TA		TA activity	Positive $m = 2.0 \times 10^{-2}$
S003	Negative for malignancy. Acute and chronic inflammation with bacteria colonies	No expected TA		No TA activity	Negative $m = -5.8 \times 10^{-3}$
S004	Atrophic endometrium (AE). Leiomyomas, intramural.	AE may exhibit low TA.	1	-	Negative (or below LoD) $m = 6.8 \times 10^{-4}$
S005	Low-grade squamous intraepithelial lesion, focal. Proliferative endometrium (PE). Myometrium unremarkable.	May exhibit TA.	1	-	Positive $m = 1.4 \times 10^{-2}$
S006	Fragments of Atrophic endometrium. Immunohistochemical: P-16- negative, Ki-67 negative P-53 negative	No expected TA		No TA activity	Negative (or below LoD) $m = 5.1 \times 10^{-3}$
S007	Congenital Adrenal Hyperplasia (CAH)	unknown		TA activity	Positive $m = 1.7 \times 10^{-2}$

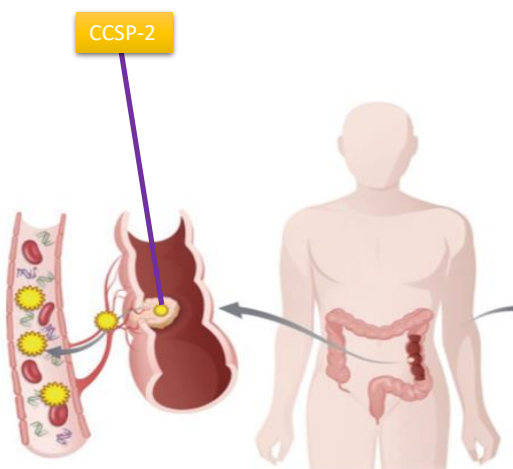


THE UNIVERSITY OF TEXAS AT EL PASO 1. Zhonghua Yi, Xue Za Zhi. 2004 Oct;17:84(20):172, 1-5.

2. Mender, I. and J. W. Shay (2015). "Telomerase Repeated Amplification Protocol (TRAP)." *Bio-protocol* 5(22): e1657.

55

55



Advanced Science, Volume: 6, Issue: 11, First published: 16 April 2019, DOI: (10.1002/advs.201802115)



THE UNIVERSITY OF TEXAS AT EL PASO

Colon cancer secreted protein-2 (CCSP-2)



Oncogene (2005) 24, 734–731

© 2005 Nature Publishing Group. All rights reserved 0950-9232/05 \$30.00
www.nature.com/onc

Colon cancer secreted protein-2 (CCSP-2), a novel candidate serological marker of colon neoplasia

Baozhong Xin^{1,2}, Petra Platzer^{1,2,3}, Stephen P Fink^{1,2,5}, Lisa Reese^{1,2}, Arman Nosrati^{1,2}, James KV Wilson^{1,2}, Keith Wilson^{3,5} and Sanford Markowitz^{4,1,2,6,7}

¹Department of Medicine and Ireland Comprehensive Cancer Center, Case Western Reserve University, Cleveland, OH 44106, USA; ²University Hospitals of Cleveland, Cleveland, OH 44106, USA; ³Protein Design Labs, Fremont, CA 94535, USA; ⁴Howard Hughes Medical Institute, Cleveland, OH 44106, USA

FULL PAPER

Cancer Diagnostics

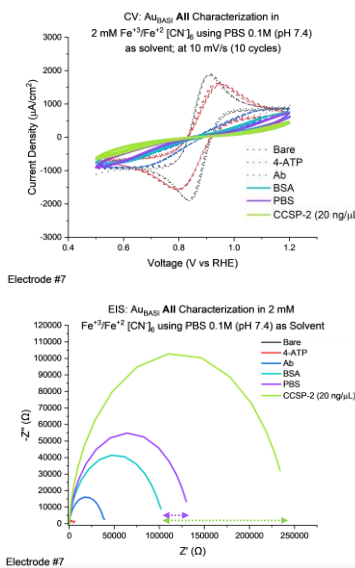
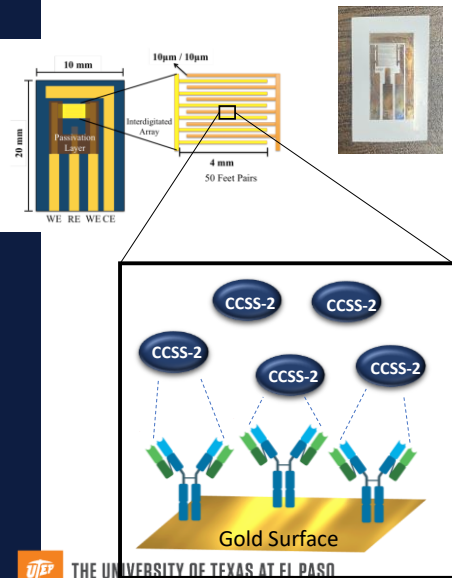


A Novel Blood-Based Colorectal Cancer Diagnostic Technology Using Electrical Detection of Colon Cancer Secreted Protein-2

Minhong Jeun, Hyo Jeong Lee, Sungwook Park, Eun-ju Do, Jaewon Choi, You-Na Sung, Seung-Mo Hong, Sang-Yeob Kim, Dong-Hee Kim, Ja Young Kang, Hye-Nam Son, Jinmyoung Joo, Eun Mi Song, Sung Wook Hwang, Sang Hyoung Park, Dong-Hoon Yang, Byong Duk Ye, Jeong-Sik Byeon, Jaewon Choe, Suk-Kyun Yang, Helen Moinova, Sanford D. Markowitz, Kwan Hyi Lee,* and Seung-Jae Myung*

56

Electrochemical Biosensor for CCSP-2 Detection



Yermery Morales-Lozada, PhD
Post-Doctoral Fellow
UT at El Paso

$$\Delta R_{\text{PBS solvent}} < \Delta R_{\text{CCSP-2 Antigen}}$$

57

57

Alkaline Fuel Cells Catalysis



Microbial Fuel Cells Ureolysis System



Biosensors



Photo-electrochemistry Solar Cells

58

29

Agradecimientos



THE UNIVERSITY OF TEXAS AT EL PASO



Faculty Science and Technology
Acquisition and Retention (STARs)

59



SOCIEDAD QUÍMICA
DE MÉXICO, A.C.
"La química nos une"



La Electroquímica: Desde la Energía Renovable Hasta Dispositivos Biomédicos



Dr. Carlos R. Cabrera Martínez
Director y Profesor de Química y Bioquímica,
University of Texas at El Paso (UTEP)



Dra. Ingrid Montes
Profesora, Universidad de Puerto Rico,
Recinto de Río Piedras

Las imágenes de la presentación están disponibles para el evento de hoy.
<https://www.acs.org/content/acs/en/acs-webinars/library/electroquimica-2.html>

El Webinar de hoy está auspiciado por la Sociedad Química de México y American Chemical Society

60

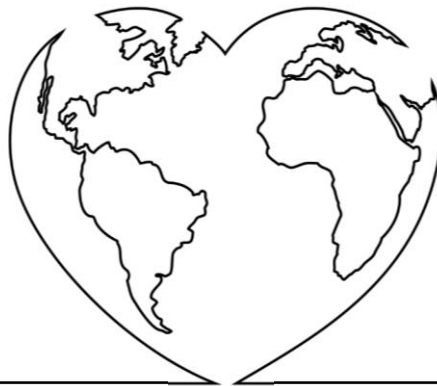


SOCIEDAD QUÍMICA
DE MÉXICO, A.C.
"La química nos une"



Por el amor a la química venimos de todos partes...

- ✓ Alemania
- ✓ Argentina
- ✓ Aruba
- ✓ Bolivia
- ✓ Brasil
- ✓ Chile
- ✓ Colombia
- ✓ Costa Rica
- ✓ Ecuador
- ✓ El Salvador
- ✓ España
- ✓ Estados Unidos
- ✓ Francia
- ✓ Guatemala
- ✓ Honduras
- ✓ India
- ✓ Italia
- ✓ Malasia
- ✓ México
- ✓ Panamá
- ✓ Perú
- ✓ Portugal
- ✓ Puerto Rico
- ✓ Reino Unido
- ✓ República Dominicana
- ✓ Taiwán
- ✓ Uruguay
- ✓ Venezuela



Hoy tenemos representantes de **29 países**

61

61



SOCIEDAD QUÍMICA
DE MÉXICO, A.C.
"La química nos une"



C&EN pone a su disposición traducciones al español de sus artículos más populares.

C&EN EN ESPAÑOL

Spanish translations of C&EN's best weekly chemistry news.



Queremos hacer de la ciencia de vanguardia más accesible a la comunidad química de habla española, y esta es nuestra contribución. Le da a los nacidos en España, América Latina, o los EE.UU., pero cuyo primer idioma es el español la oportunidad de leer este contenido en su lengua materna. Esperamos que les guste y sea de su utilidad.



Dr. Bibiana Campos Seijo
Editora en Jefe, C&EN

<http://bit.ly/CENespanol>

62

62



Mantente actualizado sobre la industria de la química
y sus ciencias afines en la región

Suscríbete al Newsletter de CAS Hispanoamérica

Para darte de alta, puedes enviarnos un correo electrónico a
acsihispanoamerica@acs-i.org

¡Hasta pronto!
www.cas.org

acsihispanoamerica@acs-i.org

63



63



SOCIEDAD QUÍMICA
DE MÉXICO, A.C.
"La química nos une"



Sociedad Química de México



Desde sus comienzos de la Sociedad Química de México, se buscaba un emblema sencillo, no demostrar partidarismo alguno y significar al gremio, debería representar un símbolo no sólo para los químicos, sino también para ingenieros, farmacéuticos, metalurgistas, en fin que englobe e identifique por igual a los científicos en todas sus áreas de las ciencias químicas.

www.sqm.org.mx

64

64

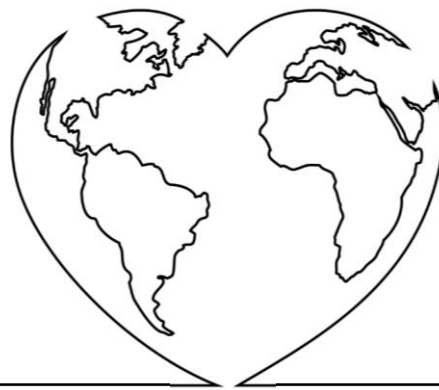


SOCIEDAD QUÍMICA
DE MÉXICO, A.C.
"La química nos une"



Por el amor a la química venimos de todos partes...

- | | |
|------------------|------------------------|
| ✓ Alemania | ✓ Honduras |
| ✓ Argentina | ✓ India |
| ✓ Aruba | ✓ Italia |
| ✓ Bolivia | ✓ Malasia |
| ✓ Brasil | ✓ México |
| ✓ Chile | ✓ Panamá |
| ✓ Colombia | ✓ Perú |
| ✓ Costa Rica | ✓ Portugal |
| ✓ Ecuador | ✓ Puerto Rico |
| ✓ El Salvador | ✓ Reino Unido |
| ✓ España | ✓ República Dominicana |
| ✓ Estados Unidos | ✓ Taiwán |
| ✓ Francia | ✓ Uruguay |
| ✓ Guatemala | ✓ Venezuela |



Hoy tenemos representantes de **29 países**

65